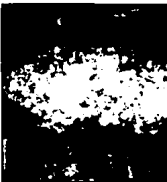
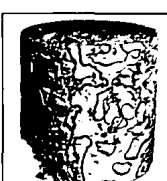
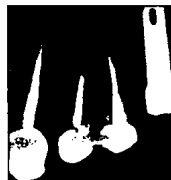
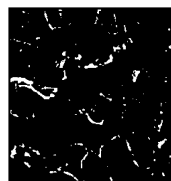


369	Editorial: Reaktionen auf den Beitrag „Krestaler/marginaler periimplantärer Knochenverlust“	Stuart J. Froum Paul S. Rosen Donald S. Clem III	
373	Änderungen der Weichgewebsdimensionen nach der Freilegungsoperation mit drei verschiedenen Verfahren: Eine Fallserie		Jochen Tunkel Luca de Stavola Fouad Khoury
381	Retrospektive Fallserie zum klinischen Ergebnis von mäßig rauen, 8 mm langen Implantaten mit großem Durchmesser im oberen Seitenzahnbereich <i>Online</i>		Young-Kyun Kim Jong-Hwa Kim Yang-Jin Yi Pil-Young Yun Su-Gwan Kim Ji-Su Oh Jae-Sung Kim
383	Horizontale gesteuerte Knochenregeneration im oberen Seitenzahnbereich mit rekombinantem humanem Platelet-Derived Growth Factor: Ein Fallbericht		Istvan A. Urban Jaime L. Lozada Sascha A. Jovanovic Katalin Nagy
389	In-vivo-Messungen der Transluzenzparameter der humanen Gingiva		Sang-Ho Jun Jin-Soo Ahn Brian M. Chang Jason D. Lee Jae-Jun Ryu Jong-Jin Kwon
397	Knöcherne Langzeitintegration und Resorptionskinetiken eines xenogenen Knochenersatzmaterials nach Sinusbodenaugmentation: Histomorphometrische Analyse von humanen Gewebeproben <i>Online</i>		Marcus O. Klein Peer W. Kämmerer Hermann Götz Heinz Duschner Wilfried Wagner
399	Neuartiger kombinierter operativer Ansatz zur vertikalen Alveolarkammaugmentation mit einem Titannetz, einer resorbierbaren Membran und rhPDGF-BB: Eine retrospektive konsekutive Fallserie		Akiyoshi Funato Tomohiro Ishikawa Hajime Kitajima Masahiro Yamada Hidetada Moroi
409	Periimplantäre Weichgewebskonditionierung mit implantatgetragenen Provisorien im ästhetischen Bereich: Die dynamische Kompressionsmethode		Julia-Gabriela Wittneben Daniel Buser Urs C. Belser Urs Brägger
419	Kurze Implantate: Wann sind sie erfolgreich und wann nicht? Eine Literaturlauswertung		Douglas Deporter
427	Was ist nach einem Implantatmisserfolg zu tun? Ein Review möglicher Behandlungsoptionen <i>Online</i>		Eli E. Machtei

429	Effekt der Partikelgröße eines Xenografts (ABBM) auf die Knochenneubildung nach Sinuslift: Eine histomorphometrische, randomisierte, kontrollierte klinische Multicenter-Studie		<i>Tiziano Testori Stephen S. Wallace Paolo Trisi Matteo Capelli Francesco Zuffetti Massimo Del Fabbro</i>
439	Schneiden von Knochen mittels Piezosurgery bei der Autotransplantation nicht durchgebrochener dritter Molaren		<i>Rafał Koszowski Tadeusz Morawiec Anna Bubilek-Bogacz</i>
445	Sinusbodenaugmentation mit equinem Knochenmineral: Eine klinische, radiologische, histologische und histomorphometrische Fallserie		<i>Myron Nevins Friedhelm Heinemann Ulrich W. Janke Teresa Lombardi/David Nisand Isabella Rocchietta Giacomo Santoro Peter Schubach/David M. Kim</i>
453	Die Bone-Lamina-Technik: Fallserie zu einem neuartigen Ansatz für die laterale Alveolarkammaugmentation		<i>Hannes Wachtel Stefan Fickl Marc Hinze Wolfgang Bolz Tobias Thalmair</i>
461	Prospektive Multicenter-Studie zur lokalen Alveolarkammaugmentation mit boviner Perikardmembran und spongiösem partikuliertem Allograft		<i>Thomas W. Sterio James A. Katancik Steven B. Blanchard Pinelopi Xenoudi Brian L. Mealey</i>
471	Klassifikation und Management von Underwood-Septen beim Sinuslift		<i>Shih-Cheng Wen Hsun-Liang Chan Hom-Lay Wang</i>
481	Regulation der Kopplung von Osteogenese und Angiogenese bei intraoralen regenerativen Verfahren durch eine Hypoxie: Ein Literaturreview		<i>Anastasios A. Mamalis David L. Cochran</i>
487	Effekt unterschiedlicher Oberflächenbehandlungen auf die Haftkraft von Keramikrestorationen <i>Online</i>		<i>Duygu Saraç Yakup Sinasi Saraç Safak Külünk Ayça Erkoçak</i>
489	Wiederherstellung eines ästhetisch und funktionell ansprechenden Gebisses: Ein multidisziplinäres Vorgehen		<i>Mukesh Kumar Goyal Shelly Goyal Veena Hegde Dhanasekar Balkrishana Aparna I. Narayana</i>